

<論文>

固體飛跡檢出器를 利用한 中性子線量 測定

陸 鍾 漱*·魯 聖 基**

(1977年 4月 10日 接受)

要 約

中性子 線量 測定目的으로 使用할 Posi 필름 固體飛跡檢出器의 알파粒子 飛跡檢出效率과 化學腐蝕에 依한 그의 飛跡形成 最適條件를 實驗의으로 決定하였다. ^{10}B 및 ^{27}Al 箔과 posい 필름 固體飛跡檢出器로 이루어진 中性子 線量計를 製作하고 이것에 依한 中性子 線束密度 및 線量의 測定範圍等을 實驗結果와 理論的인 根據下에서 算出하였다.

그 結果 posい 필름 固體飛跡檢出器는 核分裂性 物質을 粒子放出體로 併用함이 없이 中性子 測定에 効果的으로 應用될 수 있음이 判明되었다.

1. 序 論

中性子의 檢出에는 現在 多種多樣한 方法이 알려지고 있으나 그中 固體飛跡檢出法¹⁾은 中性子의 照射履歷에 關係없이 總中性子 흐루언스(Fluence)를 나타낼수 있어 中性子線量 測定에 가장 適合한 것으로 認定되고 있다. 그런데 이 固體飛跡檢出法은 荷電粒子 放出體의 併用을 必要로 하며 이것은 또 飛跡檢出器의 種類에 따라 그의 選擇條件를 달리한다. 核分裂物質은 中性子 檢出¹⁾에 널리 使用되는 重荷電粒子 放出體의 하나로 그의 飛跡檢出器選擇範圍가 넓지만 너무 高價이고 取扱에 細心한 注意를 要하는 短點을 갖고 있다. Polycarbonate polymer 系列의 하나인 Makrofol E, Cellulose nitrate, 및 Collulose acetate butyrate等은 알파粒子와 같은 比較的 가벼운 粒子를 檢出할수 있어 中性子線量 測定目的으로 使用하기에 適合하지만 固體飛跡檢出器(Solid State Track Detector-SSTD)의 價格이 비싸고一部는 商品化되어 있지 않은데다 그 製造技術이 잘 알려져 있지 않아 손쉽게 利用할수 없는 短點을 갖고 있다²⁾. 이에 著者들은 原子爐等 주변에서 中性子의 作業環境評價를 為해 使用될 線量計의 國產化 一途으로 飛跡檢

出器의 自體 製造를 為한 材料調查中 보통 사진 摄影用 nega 필름과 文獻複寫用 posい 필름의 基板이 알파粒子와 같은 荷電粒子를 檢出할수 있음을 發見하였다. 그런데 前者は 後者에 比하여 그 鮮明度가 나빠 本研究에서는 前者를 後者만을 中性子 測定用으로 採擇하여 이것의 線量測定因子인 飛跡形成 最適條件와 飛跡檢出效率를 實驗 및 理論的으로 決定하였다. 알파粒子 放出體인 ^{10}B 箔은 自體 製作되었으며 速中性子 測定用 ^{27}Al 箔은 市中에서 구입한 알미늄板에서 切斷 加工되었다.

2. 理論的인 背景

荷電粒子 放出體와 粒子檢出器로 構成된 固體飛跡中性子線量計를 어떤 中性子場에서 照射시켜 粒子檢出器(SSTD)에 生成된 飛跡과 그 中性子場의 特性인 微分中性子線束密度와의 關係는

$$F = NdAP\varepsilon \int_0^\infty \sigma(E) \phi(E) dE \quad (1)$$

여기서

F: 飛跡密度 (etch-pits/cm²)

N: 粒子放出體의 單位體積當 原子數 (atoms/cm³)

d: 粒子放出體의 두께 (cm)

A: 粒子放出體의 面積 (cm²)

P: 粒子의 表面逸出確率

\varepsilon: 飛跡檢出效率

* 漢陽大學校 工科大學 原子力工學科

** 韓國核燃料開發公團

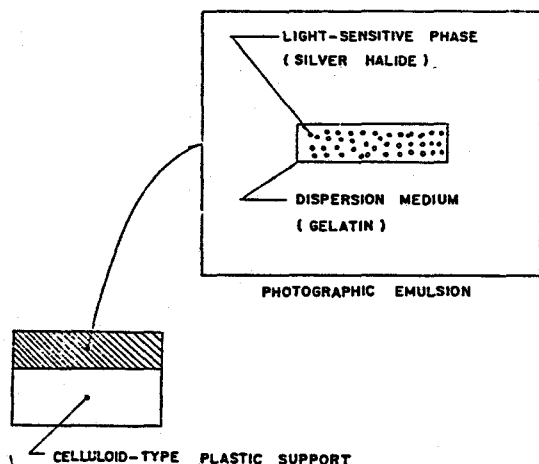


Fig. 1. Photographic film

f : 考慮되는 粒子放出核種의 成分比

$\sigma(E)$: 微分核反應斷面積(barn)

$\phi(E)$: 微分中性子線束密度($n/cm^2\text{-sec.}$)

이 式에서 粒子放出體의 두께가 粒子의 平均飛程, R , 보다 두꺼울때 d 는 R 로 代置되어야 한다.

$^{10}\text{B}(n, \alpha)$ 核反應으로 부터 放出되는 알파粒子의 平均 에너지 1.8 MeV^3 에 對한 ^{10}B 箔에서의 R 는 $3.96 \times 10^{-4}\text{ cm}$ 而 $^{27}\text{Al}(n, \alpha)$ 核反應으로 부터 放出되는 알파粒子의 平均에너지 4.99 MeV^4 에 對한 ^{27}Al 箔에서의 R 는 $2.64 \times 10^{-3}\text{ cm}$ 이다. $\phi(E)$ 는 몇개의 檢出器로서 正確히 測定될 수 없으며 本研究의 境遇에서와 같이 限定된 檢出器를 使用할때는 中性子스펙트럼을 積極히 假定하는 것이 보통이다⁵⁾. 그려므로 熟中性子 스펙트럼은 20.4°C 熟平衡狀態에 있는 中性子의 速度分布를 갖는다 하고 速中性子 스펙트럼은 ^{235}U 가 熟中性子에 依하여 核分裂이 일어날때 放出되는 中性子에너지分布와 같다고 本研究에서는 假定하였다.

(1)式에서 $P^6)$ 는 다음과 같이 주어진다. 粒子放出體의 두께가 對象粒子의 飛程보다 두꺼울때

$$P = \frac{R}{4d} \quad (2)$$

萬一 飛程이 粒子放出體의 두께보다 길때

$$P = \frac{2R-d}{4R} \quad (3)$$

로 주어진다.

한편 ϵ 는 Fleischer等⁷⁾에 依하여 다음과 같이 주어진다.

$$\epsilon = 1 - \sin \theta_c \quad (4)$$

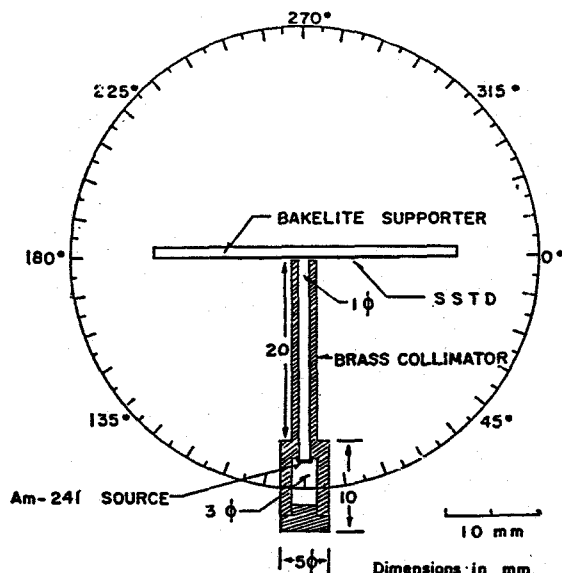


Fig. 2. Experimental arrangement of the collimated beam system for the determination of the critical angle θ_c .

여기서 θ_c 는 臨界角을 表示한다.

以上 모든 因子와 $\phi(E)$ 가 알려지면 中性子線量, D , 은 다음과 같은 關係式으로부터 簡便히 算出된다.

$$D = \int_0^{\theta_c} D(E) \phi(E) dE \quad (5)$$

여기서 $D(E)$ 는 微分中性子線量을 表示한다.

3. 實驗

1) 飛跡形成 最適條件의 決定

posi 필름을 먼저 $(60 \pm 1)^\circ\text{C}$, 1.3 g/cm^3 NaOH 水溶液에 넣어 1時間동안 腐蝕을 시키므로서 할로겐銀인 感光部分과 散布媒質인 젤라틴⁸⁾을 除去시키고 셀루로이드型 플라스틱으로 생각되는 基板만 남겨하였다(Fig. 1 參照). 이와같은 方法으로 회수된 基板의 두께는 0.135 mm 程度였으며 아주 均一한 두께를 갖고 있었다. 이것을 다시 2 cm 直徑의 크기로 펼치하여 本 實驗에 使用하였다.

이 posi 필름 基板(以後 固體飛跡檢出器 또는 SSTD 라 한다)을 ^{241}Am 알파粒子 放出源으로 부터 2 cm 距離에 固定시키고 $\sim 1 \times 10^{-2}\text{ torr}$ 의 真空속에 넣어 1時間동안 照射시킨다. 이렇게 照射된 SSTD를 1.3 g/cm^3 NaOH 水溶液에 넣어 時間 및 溶液의 温度를 變化시키면서 腐蝕되게 한 다음 꺼내어 蒸溜水에 10分鐘間 넣어두었다가

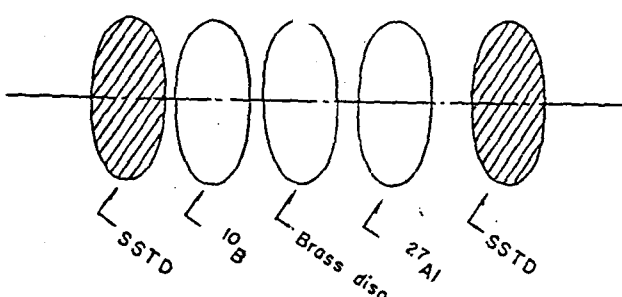


Fig. 3. Geometrical arrangement of the α -particle emitter and pos-i-film SSTD

다시 꺼내 乾燥시킨 후 400倍率의 透過型 顯微鏡으로 飛跡을 觀察한다.

또前述한 것과 同一한 方法으로 알파粒子를 照射한 다음 $(60 \pm 1)^\circ\text{C}$ 温水 속에서 處理한 후 이것을 다시 $(60 \pm 1)^\circ\text{C}$, $1.3\text{g}/\text{cm}^3$ NaOH 水溶液에서 1時間 腐蝕시켜 飛跡을 观察한다.

飛跡生成에 있어서서 감마선의 影響을 알아보기 為하여 SSTD를 ^{60}Co 감마선에 照射시킨 후前述한 方法으로 化學腐蝕을 한 다음 24時間 空氣中에서 乾燥시켜 腐蝕前後의 두께 變動을 測微計로 測定하여 그 基板의 腐蝕速度를 計算하였다.

2) 알파粒子 飛跡檢出效率의 測定

粒子放出體의 表面으로 逸出된 粒子는 飛跡檢出器에서 1對 1로 對應되는 飛跡을 生成시키지 못한다. Fleischner等²⁾은 一定角度 以上으로 入射한 粒子만을 飛跡檢出器가 記錄할 수 있다는 臨界角의 概念을 導入한 바 있는데 이 臨界角은 飛跡檢出效率決定에 있어서 重要한 因子가 된다.

그런데 이 臨界角은 粒子의 種類 및 그의 エネルギ와 飛跡檢出器의 種類에 따라 달라진다고 한다.³⁾ 따라서 이 臨界角은 粒子放出體에서 核反應으로 因하여 생긴 粒子의 エネルギ를 考慮하여決定하여야 함을 意味한다. 本研究에서는 ^{214}Am 알파粒子 線源을 使用하였는데 이 것으로 부터 放出되는 粒子의 最大 エネルギ는 5.48MeV이다. 空氣中에서의 距離를 變化시키면서 0~5.48MeV 에너지區間에서의 θ_c 값을決定할 수 있는데 考慮된 에너지區間에서 그 값은 전연 差異를 보여주지 않았다. 即 $^{10}\text{B}(n, \alpha)^7\text{Li}$ 및 $^{27}\text{Al}(n, \alpha)^{24}\text{Na}$ 反應에서 放出되는 알파粒子의 エネルギ는 다르지만 그의 檢出效率은 같다는 것을 뜻한다.

이 臨界角을決定하기 為하여 Fig. 2와 같은 裝置를 만들었다. 알파粒子 線源으로 부터 2.2cm 距離에 SSTD

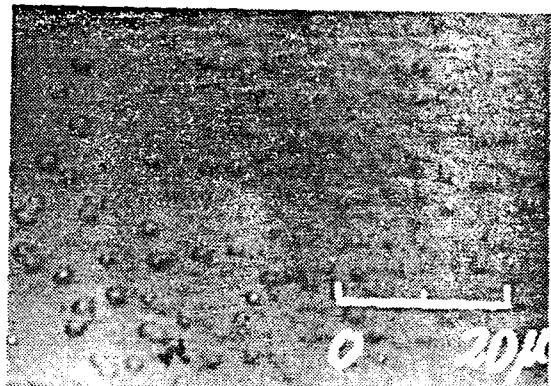


Fig. 4. A photograph of alpha-particle tracks in pos-i-film SSTD after 1 hour etching in a $1.3\text{g}/\text{cm}^3$ NaOH solution at $(60 \pm 1)^\circ\text{C}$

를 固定시키고 알파粒子는 1mm 直經의 collimator (beam의 擴散은 約 $1^\circ 26'$ 가 된다)를 通過 SSTD에 入射하게 된다. 이와같은 알파粒子 照射實驗은 $\sim 1 \times 10^{-2}$ torr의 真空속에서 行하여 之으며 入射角度를 變化시키면서 平均 3日 照射된 SSTD를前述한 化學腐蝕條件에 따라 NaOH 水溶液에서 1時間 腐蝕시켜 400倍率의 光學顯微鏡에서 飛跡을 观察한다. 처음 90° angle에서 부터 차츰 이것을 變化시키면서 飛跡이 观察되지 않는 angle를 찾게 된다.

3) 固體飛跡檢出器에 依한 中性子 測定

荷電粒子放出體로서 熱中性子 測定에 使用하기 為하여 自體製作된 ^{10}B 箔과 速中性子 測定用 國產 알미늄箔의 物理的 및 核的特性은 Table 1에 收錄되었다. 알파粒子放出體인 ^{10}B 및 ^{27}Al 箔과 알파粒子檢出器인 pos-i 필름 SSTD는 Fig. 3과 같이 組合된 形態로 中性子 測定에 使用하였는데 上과 같은 組合形態를 固體飛跡中性子線量計라 부를 것이다. Fig. 3에서 보는바와 같이 ^{10}B 과 ^{27}Al 箔사이에 1mm 두께의 鋼板을 插入한 것은 相互間의 干涉을 除去하기 為함이었다. 이 線量計를 100W로 正常 運轉되는 TRIGA Mark-I 原子爐의 氣送管裝置에서 10分間 中性子 照射시켜前述한 化學腐蝕方法으로 腐蝕시킨 다음 400倍率의 光學顯微鏡으로 SSTD에 生긴 飛跡을 观察하고 中性子線束密度를 求했다. ^{27}Al 의 경우에는 (n, α) 核反應에 依하여 放射化된 ^{24}Na 의 放射能을 감마선 스펙트로메트리로 測定하여 中性子線束密度를 換算하였으며 그結果를 SSTD에 依한 것과相互比較하였다.

4. 結果 및 考察

Fig. 4는 90° angle에서 3日間 ^{214}Am 알파粒子에 照射

Table 1. Some Physical and Nuclear Properties of Alpha Particle Emitter Foils

	$^{10}\text{B}^*$	^{27}Al
Thickness (cm)	9×10^{-4}	6×10^{-2}
Weight (g)	2.34×10^{-3}	1.83×10^{-2}
Diameter (cm)	1.2	1.2
Purity (%)	92	99 ^a
2200m/sec cross sections (b)	3855 ± 26^b	
Fission averaged-cross section (mb)		0.61 ± 0.01^c
Maximum α energy from (n, α) reaction (MeV)	1.8 ^d	13 ^e (4.99 MeV in average energy)

*Enriched to 92% ^{10}B .

^aTaken from Ref. 9.

^bFrom the literature of Meadow et al. (Ref. 10).

^cFrom the work of zijp (Ref. 11).

^dTaken from Ref. 3.

^eFrom the work of Kumabe et al. (Ref. 4).

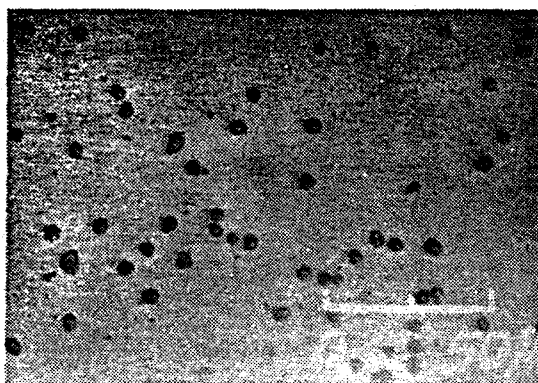


Fig. 5. A photograph of fission fragment tracks in posifilm SSTD after 1 hour etching in a 1.3 g/cm^3 NaOH solution at 55°C

하여 $(60 \pm 1)^\circ\text{C}$, 1.3 g/cm^3 NaOH 水溶液에서 1時間 腐蝕시켜 500倍率의 反射顯微鏡에서 摄影한 알파粒子의 飛跡을 보여주고 있다. 寫眞의 右側上部에는 알파粒子의 飛跡이 서로 重疊되어 있어 飛跡으로 보이지 않으나 左側에서는 아주 뚜렷하게 그것들이 보인다.

Fig. 5는 ^{241}Am 의 核分裂性物質과 組合하여 TRIGA Mark-II 原子爐의 大遮蔽水槽에서 2時間동안 中性子에 照射시켜 55°C , 1.3 g/cm^3 NaOH 水溶液에서 1시간 腐蝕시켜 200倍率로 摄影한 核分裂破片의 飛跡을 보여주고 있다.

^{241}Am 알파粒子에 SSTD를 照射한 다음, 密度(1.3 g/cm^3)와 温度 [$(60 \pm 1)^\circ\text{C}$]가 一定하게 維持되는 NaOH 水溶液속에 이 SSTD를 넣어 腐蝕時間에 따라 生成된

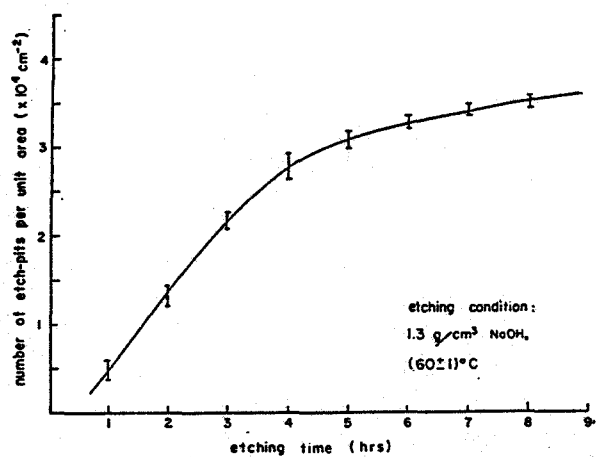


Fig. 6. Increase in number of etch-pits per unit area with etching time

飛跡의 數量 觀察하여 Fig. 6과 같은 線果를 얻었다. 처음 4時間까지는 急激히 飛跡의 數가 增加하다가 차츰 완만하게 增加함을 보여준다. 이런 現象은 Cellulose-nitrate를 使用한 Sohrabi 및 Becker¹²의 實驗에서도 觀察되었다고 報告된 바 있는데 ^{241}Am 알파粒子의 散亂過程에서 起因된 廣範圍한 에너지는 이 SSTD에 相異한 損傷을 주게되어 처음 腐蝕時間이 짧을 때는 크게 損傷을 입은 것 만이 飛跡으로 나타나지만 점점 그 时间이 길어지면 적은 損傷을 입은 것도 飛跡으로 나타나게 되는 것이 아닌가 믿어진다. 그런데 腐蝕時間이 아주 길어지면 飛跡이 서로 重疊되거나 또는 적게 損傷을 입은 곳의 腐蝕率과 SSTD 表面의 腐蝕率 差異가 很少하여 光

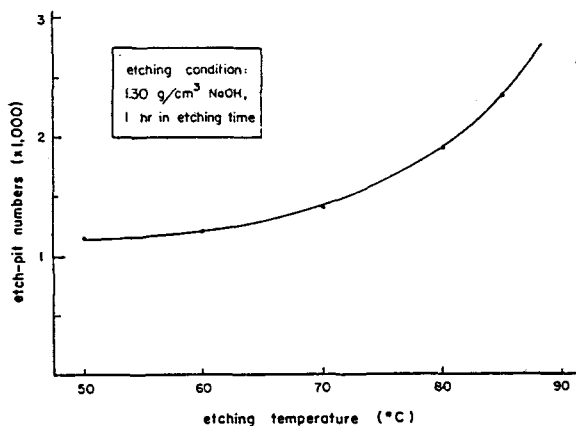


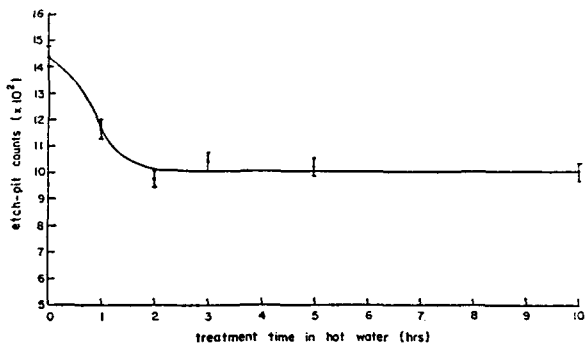
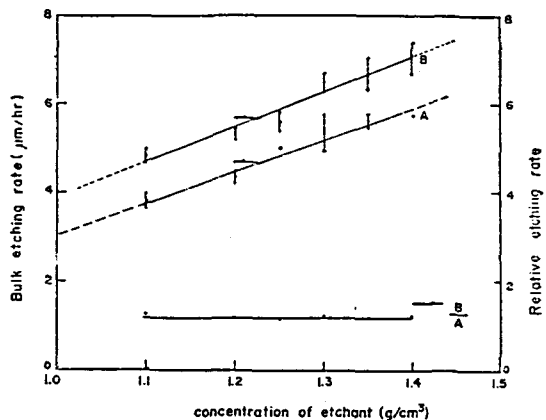
Fig. 7. Etching temperature vs etch-pit numbers

學顯微鏡에서 飛跡으로 보이지 않기 때문에 완만한 曲線으로 나타나는 것이 아닌가 思料된다.

알파粒子 照射條件를 前述한바와 같이 同一하게 하고 NaOH 水溶液의 密度 ($1.3\text{g}/\text{cm}^3$) 및 腐蝕時間(1時間)을 一定하게 維持하면서 水溶液의 温度와 生成된 飛跡數와의 關係를 觀察하여 Fig. 7 과 같은 曲線을 얻었다. 水溶液의 温度에 따라 飛跡數의 增加現象이 나타나는데 이것은 温度上昇에 따른 感應度의 向上에서 起因된 것으로 믿어진다.¹⁵⁾

앞서와 同一한 方法으로 알파粒子를 照射한 다음 (60 ± 1)°C 温水속에서 處理하여 이것을 다시 (60 ± 1)°C, $1.3\text{g}/\text{cm}^3$ NaOH 水溶液에서 1時間 腐蝕시켜 飛跡의 數를 觀察하였다(Fig. 8 參照). 처음 2時間동안에는 그 變化가 急激하게 減少되다가 그 다음에는 温水處理時間에 關係없이 一定한 値을 보여준다. 이것은 셀루로이드 필름을 使用하여 研究한 Hasegawa等¹⁶⁾의 結果와 一致하고 있는데, 낮은 에너지의 알파粒子에 依하여 생긴 아주 적은 損傷이 温水處理中에 필름의 위축작용으로 없어져 이와같은 現象이 나타나지 않는가 생각되지만 確實치는 않다. 實際로 腐蝕溶液에 필름을 長時間 넣어 두었을때 이것이 주그려들고 飛跡數가 顯著하게 減少하는 現象을 觀察하였는데 上과 같은 說明은 可能하지 않는가 생각된다.

SSTD를 ^{60}Co 痞마선(照射線量: $\sim 1 \times 10^7\text{R}$)에 照射시켜 (60 ± 1)°C의 $1.2 \sim 1.4\text{g}/\text{cm}^3$ NaOH 水溶液에서 4時間 腐蝕시킨다음 腐蝕速度를 測定하여 痞마선에 照射되지 않는것과 比較하였는데 그 結果는 Fig. 9 와 같다. 이 그림에서 A 및 B는 각각 痞마선을 照射하지 않는 것과 照射한 것을 表示한다. 大體的으로 痞

Fig. 8. Etch-pit fading at (60 ± 1) °CFig. 9. Comparison of bulk etching rates between un-irradiated (A) and γ -irradiated ($\sim 1 \times 10^7\text{R}$; B) positi-film SSTD in NaOH solution at (60 ± 1) °C

선 照射 有無에 關係없이 腐蝕速度는 水溶液의 濃度에 따라 直線的으로 增加함을 보여주고 있다. 그리고 $\frac{A}{B}$ 의 曲線은 그 相對的인 比가 1.30 으로서 거의 一定值를 나타내고 있다. 本 實驗에서는 痞마선 照射線量이 $\sim 1 \times 10^7$ 以下에서만 取扱하였는데 이것은 照射線量을 $\sim 2 \times 10^7\text{R}$ 로 增加시켰을때 필름이 부스러지는 現象을 보였기 때문이다. 이 原因은 確實치 않으나 照射線量의 增加로서 SSTD의 化學的 結合이 破壞되어 일어난 現象이 아닌가 생각된다.¹⁵⁾

한편 水溶液의 濃度 即 密度變化에 따른 飛跡의 變化를 觀察하였는데 $1.3\text{g}/\text{cm}^3$ 以上的 溶液에서는 큰 變化를 보이지 않았다. 그러나 그 以下の 낮은 密度에서는 長時間의 腐蝕이 必要하였다.

以上의 實驗結果를 綜合하여 보면 水溶液의 濃度, 温

Table 2. Comparison of Neutron Flux Densities Obtained by SSTD and Activation Methods*

	SSTD Method	Activation Method
Thermal flux density (n/cm ² ·sec)	—	^a (1.33±0.01) 10 ¹²
Fast flux density (n/cm ² ·sec)	(1.01±0.02) 10 ¹²	(1.21±0.08) 10 ¹²

* In the pneumatic transfer tube of the TRIGA Mark-II reactor at the steady power level of 250kW.

-Impossible to measure the neutron flux density because of high sensitivity.

a Westcott thermal neutron flux density.

Table 3. Measurable Range of Neutron Fluence by Means of the Proposed Dosimeter

Unit: n/cm²

Spectrum component	Range	Minimum	Maximum
Thermal Neutron		4.83×10 ⁴	2.61×10 ⁷
Fast Neutron		1.05×10 ¹¹	5.68×10 ¹³

Table 4. Measurable Range of Dose-Equivalent by Means of the Proposed Dosimeter

Unit: rems

Spectrum component	Thermal Neutron		Fast Neutron	
	minimum ^d	maximum ^e	Minimum ^d	Maximum ^e
*Autogamma+charged particle	4.11×10 ⁻⁶	2.22×10 ⁻²	2.99×10 ³	1.62×10 ⁶
^b Charged particle	3.14×10 ⁻⁶	1.70×10 ⁻²	2.98×10 ³	1.61×10 ⁶
^c Charged particle	1.01×10 ⁻⁶	5.48×10 ⁻³	2.57×10 ³	1.39×10 ⁶

^{a,b}Based on the multi-collision theory.

^cBased on the single collision theory.

^dOn the basis of 1850 etch-pits/cm².

^eOn the basis of 10⁵ etch-pits/cm².

度 및 腐蝕時間은 각각 1.3g/cm³, 50°C 및 6時間以上으로 取하는 것이 바람직해 보이지만 6時間의 腐蝕時間은 實際의面에서 不適合하고 水溶液의 温度 50°C는 1時間腐蝕時間에 對한 最低 温度였기 때문에 使用된 恒温槽의 温度調節能力을 考慮하여 60°C로 取하였다. 따라서 飛跡形成 最適條件으로서 水溶液의 濃度, 温度 및 腐蝕時間은 각각 1.3g/cm³, 60°C 및 1時間으로 決定되었다.

SSTD의 알파粒子 飛跡檢出效率은 臨界角 (θ_c)의 實側으로 부터 決定되었는데 그 값은 (75.8±2.5)%였다. 이 값에 주었진 誤差는 飛跡計數誤差만을 包含한다.

固體飛跡中性子線量計를 100W로 正常 運轉되는 TRIGA Mark-I 原子爐의 氣送管裝置에서 10分間 中性子 照射시켜前述한 化學腐蝕을 시킨 다음 400倍率의 光學顯微鏡으로 SSTD에 생긴 飛跡을 觀察하였다. ¹⁰B과 組合된 SSTD에서는 너머 많은 飛跡에 重疊되어 있어 計數할 수 없었는데 Table 1에서도 볼 수 있는 바와 같이 核反應斷面積이 너무 커, 이것이 测定上限을 制限한

것 같다. 그러나 이것은 낮은 热中性子 線量測定에 有用할 것 같으며 또 ¹⁰B의 成分比를 調節하므로 그 测定界限을 擴張시킬 수 있을 것이다. 한편 ²⁷Al과 組合된 SSTD에 생긴 飛跡密度는 同一 中性子照射條件下에서 4250±65 etch-pits/cm²였는데 이 값을 (1)式에 代入하면 快中性子 線束密度는 (1.01±0.02) 10¹² n_f/cm²·sec가 된다. 이 값은 (n, α) 核反應에 依하여 放射化된 ²⁴Na의 放射能을 감마선 스펙트로메트로로 测定하여 計算한 값 (1.21±0.08) 10¹² n_f/cm²·sec와 近似하게一致한다.

Table 2에는 固體飛跡檢出法과 放射化學法에 依한 中性子 線束密度 测定結果를 提示하였다. 카드미움 切斷法을 利用하여 金箔으로 测定한 Westcott 热中性子線束密度^d는 셋째칸에 주어졌다.

本 固體飛跡中性子線量計의 测定範圍는 SSTD內에 存在하는 自然飛跡과 光學顯微鏡에서 测定할 수 있는 飛跡數를 考慮하여 決定하였다. 自然飛跡數는 中性子 및 그의 線量測定 下限值를 決定하는데 있어서 決定의 인因子가 된다. 그러므로 自然飛跡이 적은 材料를 選擇하는

것이 第一의 要件이 될 것이다. 그런데 SSTD를 自然中에 放置하여 두면 Radon 및 Thoron等에 依한 影響을 받아¹²⁾ 自然飛跡數의 增加를 일으키는데 本實驗에서도 이와같은 現象이 發見되어 이 SSTD를 使用하기 前에는 100°C Oven속에서 2時間동안 热處理를 하였다. 이 热處理後에는 飛跡數가 顯著하게 減少하였으나 아주 없어 지지 않았는데 残留飛跡은 950±150 etch-pits/cm²였다. 이 값에 주어진 誤差는 10回의 獨立된 實驗結果로 부터 計算된 標準偏差이다. 이 標準偏差에 6倍를 하여 下限值決定의 基準으로 하였다. 한편 上限值는 단순히 顯微鏡에서 判讀할 수 있는 飛跡數를 10⁶ etch-pits/cm²로 假定하여 決定하였다. 이들 值을 (1)式에 代入하여 計算하면 Table 3과 같이 中性子測定範圍가 決定되고 (5)式에 依하여 線量測定範圍가 計算되었는데 그 結果는 Table 4와 같다. 이 線量測定範圍 決定時에 使用된 中性子對 線量換算係數는 Kim 및 Ro⁶⁾의 研究結果에서 取해졌다. 이 線量計에 依한 热中性子測定範圍는 아주 좁은데 粒子放出體인 ¹⁰B의 成分比를 適切히 調節하므로서 그것을 擴張될 수 있을 것이다.

5. 結論

posi 필름 基板이 알파粒子를 檢出할 수 있음을 發見하고 ²⁴¹Am 알파放出線源을 利用하여 이것의 알파粒子檢出特牲을 實驗的으로 決定하였다. 그리고 이 固體飛跡檢出器와 알파粒子放出體인 ¹⁰B 및 ²⁷Al箔으로 構成된 中性子線量計를 製作하여 TRIGA Mark-II 原子爐의 氣送管裝置內에서 中性子線束密度測定에 利用하여 보았다. 이 線量計는 原子爐內와 같은 高準位 中性子場에서 보다는 低準位 中性子場에서 効果的임이 밝혀졌다.

References

- 1) R. L. Fleischer, P. B. Price, and R. M. Walker, Nucl. Sci. Eng. 22, 153(1965).
- 2) K. Becker, Health Phys. 16, 113(1969).
- 3) W. E. Burchan, in Encyclopedia of Physics (S. Flügge, ed.), Vol. XL, pp. 97-106, Springer-Verlag, Berlin (1957).
- 4) I. Kumabe, E. Takekoshi, H. Ogata, Y. Tsunekawa, and S. Oki, Phys. Rev. 103, 155(1957).
- 5) D. H. Kim and S. G. Ro, New Rhys. 10(4), 149 (1970).

- 6) J. B. Niday, Phys. Rev. 121(5), 1471(1961).
- 7) R. L. Fleischer, P. B. Price and R. M. Walker, Ann. Rev. Nucl. Sci. 15, 1(1965).
- 8) R. E. Kirk and D. F. Othmer, Encyclopedia of Chemical Technology, Vol. 10, pp. 542-584, Interscience Encyclopedia, Inc., New York (1953).
- 9) R. E. Kirk and D. F. Othmer, Encyclopedia of Chemical Technology, Vol. 1, pp. 592, Interscience Encyclopedia, Inc., New York (1952).
- 10) J. W. Meadows and J. F. Whalen, Nucl. Sci. Eng. 40, 12(1970).
- 11) M. L. Zijp, RCN-Int-64-036, Petten, the Netherland (1964).
- 12) M. Sohrabi and K. Becker, ORNL-TM-3605 (1971).
- 13) E. Casnati, M. Marchetti, and L. Tommasino, RT/PROT (73), 17, (1973).
- 14) H. Hasegawa, et al., Radioisotopes 17(9), 11 (1968).
- 15) W. Burlant, J. Hinsch and C. Taylor, J. Poly. Sci. (Part A) 2, 57(1964).

Abstract

Neutron Dosimetry with Solid State Track Detector

Chong Chul Yook & Seung Gy Ro*

Dept. of Nuclear Engineering, Hanyang University

*Korea Nuclear Fuel Development Institute
Seoul, Korea

A base of photographic posi-film which is commercially available has been found to be a possible alpha-particle track detector. Its neutron dosimetric characteristics, i.e., alpha-particle track registering efficiency and optimum condition of track formation by chemical etching, have been determined experimentally.

The range of neutron fluence and dose capable of being measured by a neutron dosimeter consist-

ing of alpha-particle radiator foils (^{10}B and ^{27}Al) and posi-film solid state track detector, has been estimated on the basis of experimental results and theoretical background.

This detector seems to be useful for neutron dosimetry because of many favorable properties, i.e., simplicity, cheapness and a wide range of sensitivitiy.